

مطالعه اثر راهگاه‌های ورودی سرسیلندر بر روی شکل جریان هوای در سیلندر موتورهای دیزل

دکتر احمد علی سهرابی

استادیار دانشکده مهندسی مکانیک - دانشگاه صنعتی امیرکبیر

چکیده:

اثر جریان هوای داخل سیلندر بر روی عملکرد و راندمان موتورهای دیزل موضوع تحقیقات بسیار وسیعی در سال‌های اخیر بوده است. از طرف دیگر میزان آبودگی دود اگزوز نیز بستگی زیادی به شکل حرکت هوای چگونگی اختلاط سوخت با هوا در داخل سیلندر دارد. یکی از روش‌های بررسی شکل جریان هوای میزان اثر طراحی راهگاه‌های ورودی سرسیلندر، روش تنفس با جریان ثابت (steady flow method) است که در آن از وسائلی مانند بادسنجهای پروانه‌ای، سیم ملتهب و غیره استفاده وسیعی شده است. هر کدام از این وسائل محدودیت خاص خود را دارد. در این مقاله ابتدا اثر مشخصات دو نوع مختلف راهگاه ورودی بر شکل جریان هوای داخل سیلندر شامل چرخش و توربولانس مورد بررسی قرار میگیرد سپس با استفاده از اطلاعات حاصله طرح‌های جدیدی از راهگاه ورودی سرسیلندر عرضه می‌شود، که در آن علاوه بر ملاحظه ظرفیت هوایپری آنها، از قابلیت ایجاد چرخش مناسب هوا در داخل سیلندر برخوردار هستند.

The Effect of Inlet Port Design on the Air Motion in the Cylinders of Diesel Engines

A. A. Sohrabi, Ph.D.

Assistant Prof., Mech. Eng. Dept.
Amirkabir Univ. of Tech.

ABSTRACT:

The effect of cylinder flow pattern on performance and efficiency of diesel engines have been vastly investigated in recent years. The level of exhaust emission has been found to be dependent on the cylinder flow pattern too. By using steady flow rig, in which vane anemometers, hot - wire anemometers, etc are employed, one can study the effect of inlet port design on the air motion in the cylinders.

In this paper the influence of design characteristics of two different inlet ports on cylinder air flow, including swirl rates and turbulence is studied, and based on the data obtained, new designs of inlet ports are constructed. The new designs have shown good performance in swirl production in the cylinder, as well as high breathing capacity.

تشکیل مخلوط همگون سوخت و هوا برای احتراق در داخل سیلندر موتورهای دیزل بستگی زیادی به شکل حرکت و سرعت هوای ورودی دارد. در موتورهای بتزینی اختلاط سوخت و هوا قبل از ورود به سیلندر انجام می‌گیرد و مخلوط نسبتاً همگنی وارد سیلندر می‌شود که با جرقه زدن شمع احتراق بوقوع می‌پوندد. ولی در موتورهای دیزل هوای تازه ابتداء متراکم شده و سپس در زمان بسیار کوتاهی که در خلال مدت تزریق سوخت بوجود می‌آید عمل اختلاط باستی صورت گیرد. لذا شکل حرکت مناسب هوا در این مدت کوتاه میتواند در اختلاط سوخت و هوا بسیار مؤثر و مفید واقع شود، در غیر اینصورت سوخت فرصت مخلوط شدن با هوا را پیدا نکرده و احتراق ناقص به همراه دودو آلودگیهای دیگر و همچنین کاهش راندمان موتور حاصل می‌شود (۱).

در موتورهای کوچک پر سرعت با ایجاد چرخش هوا (air swirl) در داخل اطاق احتراق به این اختلاط کمک می‌کنند. این چرخش ممکن است با تعیین ماسک بر روی سوپاپ هوا و یا طراحی مخصوص راهگاه ورودی هوا بدست آید. با توجه به محدود بودن تعداد روزنه‌های انژکتور برای پاشش سوخت می‌توان دریافت که برای اختلاط کامل سوخت و هوا فقط یک سرعت دورانی چرخش هوا بینهای خواهد بود و سرعتهای بالاتر و یا پائین تر از آن اختلاط مناسبی را بوجود نمی‌آورند.

برای ایجاد چرخش هوا در داخل سیلندر بطور کلی دو نوع طراحی راهگاه و یا عبارتی گذرگاه ورودی هوا در سیلندرهای موتورهای دیزل وجود دارد که عبارتند از:

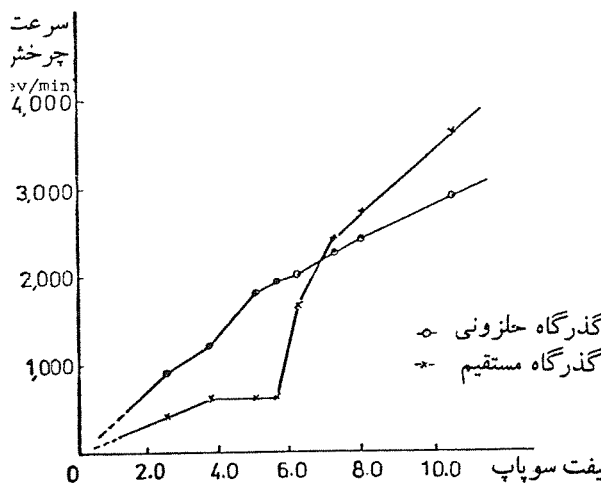
(الف) گذرگاه حلزونی (helical port) که در اغلب موتورهای دیزل مرسدس بتز بکار می‌روند

(ب) گذرگاه مستقیم (directed port) مانند گذرگاه موتورهای پرکیتز

در گذرگاههای نوع اول مسیر هوا طوری طراحی شده است که یک حرکت چرخشی به هوا ورودی داده می‌شود قبل از اینکه از سوپاپ گذشته و وارد سیلندر شود.

از نقطه نظر عملکرد، موتورهای با گذرگاه حلزونی دارای راندمان بهتر و آلودگی اگرور کمتر هستند همچنین زمان تزریق را می‌توان بمقدار زیادی به تعویق انداخت (رتارد تزریق) بدون اینکه کاهشی در راندمان و یا افزایش در مقدار دود اگرور بوجود آید. رتارد تزریق میتواند باعث کاهش درجه حرارت ماکریم سیکل شده و نتیجتاً میزان آلودگی NO_x کاهش یابد.

در این مقاله شکل جریان هوا در این دو نوع گذرگاه بهنگام ورود هوا بداخل سیلندر (مرحله تنفس) مورد مطالعه و مقایسه قرار خواهد گرفت تا چگونگی بوجود آمدن اختلاف در عملکرد گذرگاههای مختلف مشخص شده و بتوان به طرحهای



شکل ۱- میزان چرخش بادسنج برای دو نوع گذرگاه

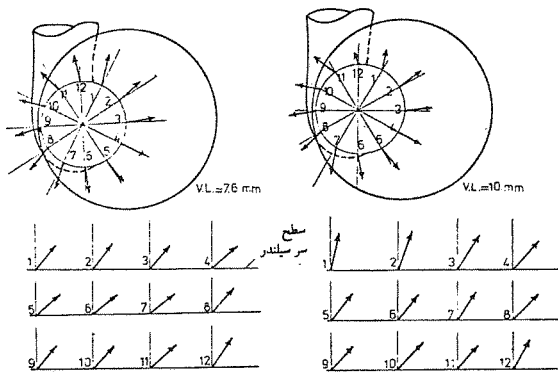
در فاصله یک قطر از سیلندر تا حدود دو سوم لیفت ماکریم ادامه دارد در حالیکه برای گذرگاههای حلزونی این گردابها قبل از یک سوم لیفت ماکریم ازین میرونند و به یک گرداب مسلط تبدیل میشوند.

برای فاصله های دیگر در داخل سیلندر نیز این موضوع بطور کلی مشابه حالت قبلی است. اگر بادستن را در فواصل دیگر سیلندر قرار دهیم برای دو نوع گذرگاه مقادیر چرخش مطابق شکل ۵ بدست می آید. برای گذرگاه مستقیم هر چه از سیلندر دورتر میسویم مقادیر چرخش افزایش می یابد. در فاصله یک سوم قطر و لیفت های کم بادستن هیچگونه چرخشی را نشان نمیدهد، زیرا دو گرداب مخالف بر روی آن اثر می کنند در حالیکه برای گذرگاه حلزونی برای فواصل نزدیک به سر سیلندر و لیفت های کوچک سوپاپ یک شکل کلی یکنواخت بوجود آمده است و از فاصله نصف قطر سیلندر به بالا سرعت بادستن تقریباً ثابت است. همانگونه که در شکل ۲ مشهود است طرز گرفتن نخ های پنبه ای حاکی از وجود یک جریان معکوس عمودی بطرف سرسیلندر است. برای گذرگاه مستقیم این جریان بسیار قوی و عمدتاً بوده و محل خود را تغییر می دهد البته از فاصله یک قطر سیلندر به بعد این جریان بتدریج محو می شود. برای گذرگاه حلزونی جریان معکوس حاصله بسیار ضعیفی در نزدیکی سر سیلندر مشاهده شده است.

مطالعه پیرامون راستای سرعت هوا در اطراف سوپاپ ورودی

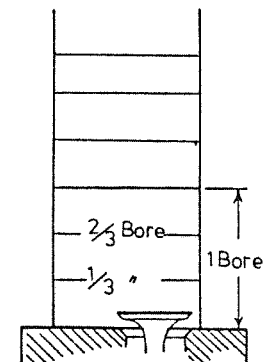
ایجاد شکل جریان دارد ولی با افزایش لیفت سوپاپ یکی از دو جریان فوق الذکر تقویت شده و بر دیگری غلبه پیدامی کند و در این مرحله طراحی فرم گذرگاه در شکل جریان اثر میگذارد و باعث ایجاد یک "تک گرداب" میشود.

برای گذرگاه حلزونی، تشکیل "تک گرداب" در لیفت های پائین سوپاپ بوقوع می پوندد. این موضوع ممکن است به خاطر مولفه مماسی سرعت هوا در محل سکوهای سوپاپ باشد هر چند که این مؤلفه ها چندان قابل ملاحظه نیستند. شکل ۴ جهت نخ های اطراف سوپاپ هوا را نشان میدهد نتایج حاصله از بادستن تیغه ای



شکل ۴- جهت جریان هوا به هنگام عبور از سوپاپ

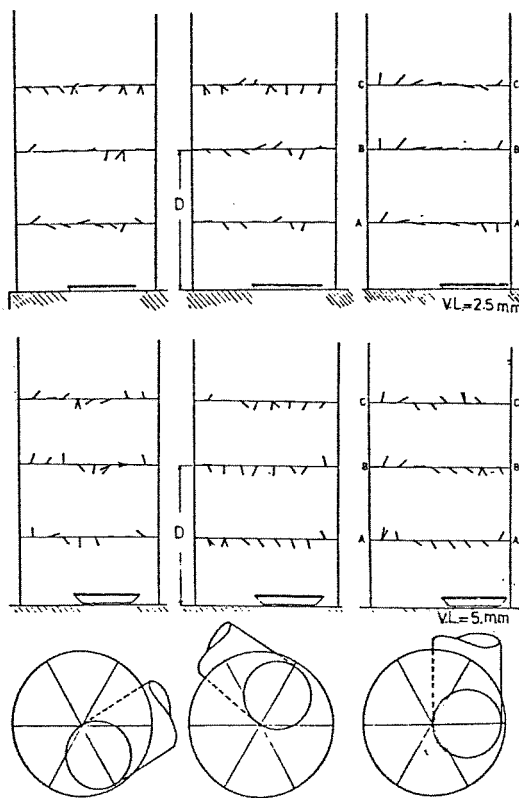
VL = 2.5	3.8	5.	5.7	6.3	7.3	8.1	10.7 mm	گذرگاه مستقیم
850	1200	1300	1350	2100	2400	2800	3600	
600	1200	-1000	1100	2000	2400	2800	3600	
450	800	700	820	2000	2400	2800	4000	
400	600	600	600	1650	2400	2700	3600	
350	400	0.400	0	950	1400	2000	3600	
0	400	0-100	0-100	450	750	1100	2000	



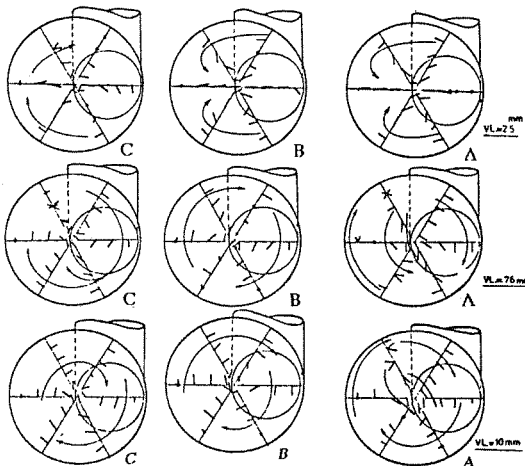
VL=2.5	3.8	5.	5.7	6.3	7.3	8.1	10.7 mm	گذرگاه حلزونی
800	1200	1600	1800	2000	2240	2400	2840	
850	1200	1500	1800	-2100	2280	2560	2840	
850	1300	1600	-1800	-2100	2240	2600	-2880	
900	-1200	1800	-1920	2000	2250	2400	-2860	
1050	-1400	1800	-1920	2100	2250	2360	2720	
640	-760	-760	-770	840	940	960	1200	

(values are in rev/min)
(مقادیر بر حسب دور در دقیقه)

شکل ۵- میزان چرخش بادستن در فواصل مختلف سیلندر



شکل ۲- شکل جریان در داخل سیلندر که توسط نغهای پنهای بدست آمده است.



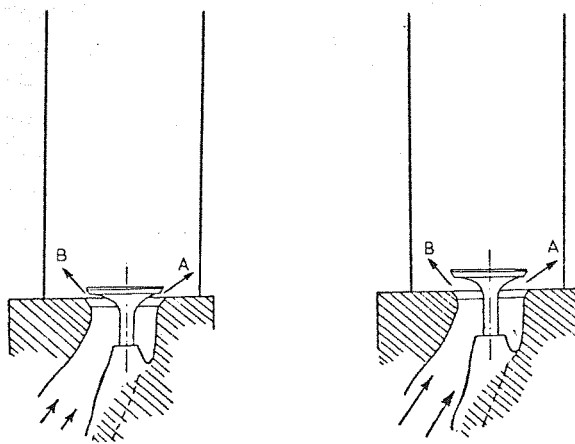
شکل ۳- شکل جریان در داخل سیلندر

این آزمایش قطر سیلندر برابر 97mm و افت فشار در دو طرف سوپاپ ورودی برابر $25/4$ سانتی متر آب تنظیم شده است. این منحنی نشان میدهد که در سیلندرهای با گذرگاه حلزونی میزان چرخش هوا کم و بیش بصورت یکجاخت بازگشت هوا میباشد. افزایش می باشد ولی در سیلندرهای با گذرگاه مستقیم چرخش هوا در لیفتهای پائین ناچیز بوده و این مقدار کم تا حدود نصف و حتی تا دو سوم مقدار ماکریم لیفت سوپاپ ادامه دارد تا اینکه بطور ناگهانی مقدار چرخش افزایش یافته و تا ماکریم لیفت همچنان افزایش می باشد به نحوی که مقادیر حاصله از مقادیر قبلی برای گذرگاه حلزونی بیشتر است. این تغییر ناگهانی در سیلندرهای نوع دوم همانگونه که بعداً "شرح داده خواهد شد به علت تغییر شکل جریان داخل سیلندر از یک "زوج گرداب" به یک "تک گرداب" است.

در لیفتهای بالاتر میزان چرخش در گذرگاههای حلزونی کمتر از میزان چرخش در گذرگاههای مستقیم است زیرا هوا ورودی به علت سرعت زیاد در این حالت کمتر تحت تأثیر پیچ و خمهاي گذرگاه قرار می گيرد و لذا حرکت کلی هوا بصورت حرکت در یک گذرگاه مستقیم درمی آيد در حالیکه پیچ و خمهاي مسیر باعث کاهش راندمان حجمی گذرگاه میشوند و نتیجتاً چرخش نسبت به حالت دوم کمتر است. اگر چه بیشترین مومنتم هوا به داخل سیلندر در لیفتهای بالای سوپاپ وارد میشود ولی باید در نظر داشت که چرخش های هر چند ناچیز هوا در مراحل اولیه تنفس باعث تصاعد چرخش های منظم بعدی خواهد شد و نتیجتاً یک حرکت منظم چرخشی در انتهای مرحله تنفس و در خلال مرحله تراکم در داخل سیلندر بوجود می آيد که به هنگام پاشش سوت امکان اختلاط مناسب سوت و هوا بوجود خواهد آمد.

برای مطالعه شکل و ترکیب حرکت هوا در داخل سیلندر علاوه بر بادسنج تیغه‌ای، تکینهای دیگری نیز توسط محققین مختلف بکار گرفته شده است از جمله استفاده از دود، نخهای ظریف پنهایی، مدل آب، پرچم‌های کوچک کاغذی (۴) و بالاخره سیم ملتهب (۵) و اشعه لیزر (۶). در اینجا از نخهای نازک پنهایی جهت نصب در قسمتهای مختلف سیلندر پلاستیکی استفاده شده است. برای لیفتهای مختلف سوپاپ در دو حالت با گذرگاه مستقیم و گذرگاه حلزونی جهت و شکل استقرار نخها یادداشت گردید. البته در بعضی از نقاط بخارتر توربولانس شدیده‌ها نخهای پنهایی مرتتعش بوده و متوجه جهت آنها در نظر گرفته شد. شکل ۲ و ۳ وضعیت کلی نخها در سطوح مختلف سیلندر نشان میدهد.

برای گذرگاه مستقیم، همانگونه که شکل ۳ نشان میدهد در لیفتهای پائین سوپاپ ابتدا دو گرداب مخالف هم در داخل سیلندر بوجود می‌آید. این بعلت دو جریان مخالف ورودی به سیلندر است. در این مرحله، طراحی گذرگاه تأثیر ناچیزی در



شکل ۷- جهت جریان در نزدیکی سوپاپ گذرگاه حلقونی

جای سوراخهای متعدد بر روی دیسک اگر یک سوراخ بزرگ به قطر $25/4\text{mm}$ و یا 50mm در آورده شود میزان افزایش بیشتر خواهد بود. بنظر میرسد که استقرار دیسک در داخل سیلندر باعث کاهش جریان معکوس شده و یک توزیع سرعت یکنواخت در امتداد طول سیلندر بوجود می آورد.

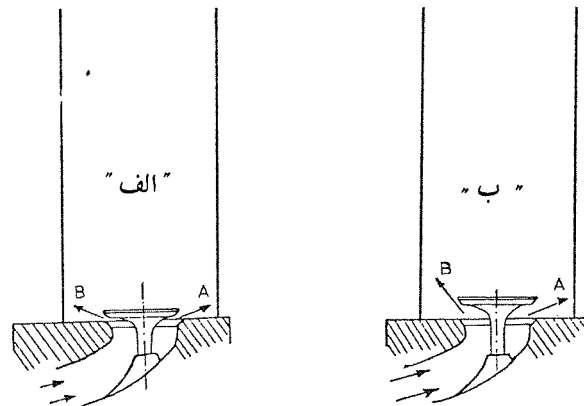
اندازه گیری توربولانس

تا این مرحله مقایسه بین چرخش کلی هوا در دو گذرگاه بعمل آمد. برای تکمیل مقایسه تصمیم گرفته شد سطح توربولانس جریان نیز در دو گذرگاه مقایسه شود. برای اینکار از یک سیم ملتهب استفاده شد که مقادیر سرعت متوسط و مقادیر $r.m.s$ جریان را در سه قطر متقاضی سیلندر اندازه گیری میکرد. یک نمونه از نتایج حاصله در شکل ۸ نشان داده شده است. بررسی ارقام بدست آمده نشان میدهد که بطور متوسط شدت توربولانس در دو گذرگاه اختلاف چندانی با هم ندارند، تنها در امتداد یکی از قطراها در گذرگاه مستقیم سطح توربولانس بیشتری از گذرگاه حلقونی بدست آمده است. این محل با توجه به نتایج حاصل از شکل و جهت نخهای پنهانی محل برخورد دو گرداب مخالف در داخل سیلندر می باشد.

همچنین نصب دیسک در داخل سیلندر تغییرات قابل ملاحظه ای را در نتایج بوجود نیاورده است این نتایج میتواند مؤید این مطلب باشد که افزایش شدت توربولانس هوا در موتورهای دیزل نقش مهمی را در احتراق و عملکرد موتور ندارند هر چند که برای اثبات کامل آن احتیاج به بررسی های بیشتر می باشد.

در مرحله بعدی آزمایشات، شکل جریان در داخل گذرگاه مورد بررسی قرار گرفت. برای این کار یک سوپاپ شفاف به جای

نیز مطالب فوق را تائید می کند در شکل ۶ الف و ۶ ب برای گذرگاه مستقیم در لیفت های پائین و بالای سوپاپ جهت سرعت هوا توسط نخ های ظریف پنهانی مشخص شده اند. در لیفت های پائین راستای A و راستای B کم و بیش دارای یک زاویه تمایل نسبت به سر سیلندر هستند و نتیجتاً دو گرداب مخالف بوجود می آورند که تأثیر آنها بر بادسنج تیغه ای این است که آن را متوقف می کنند ولی در لیفت های بالاتر جریان A قوی تر شده و همچنین زاویه های تمایل نسبت به سر سیلندر کمتر می شود در حالی که جریان B بخارط شکل گذرگاه ضعیف تر شده و زاویه تمایل آن بیشتر می شود لذا جریان A به جریان B مسلط شده و یک تک گرداب بوجود می آید.



شکل ۶- جهت جریان در نزدیکی سوپاپ گذرگاه مستقیم

برای گذرگاه حلقونی شکل ۷ در لیفت های پائین سوپاپ جریان A زاویه تمایل کمتری از جریان B نسبت به سر سیلندر دارد. جریان B به طرف قسمتهای مرکزی سیلندر حرکت کرده و جریان A به جداره سیلندر رسیده و بطور مماسی شروع به چرخش در اطراف سیلندر می کند و نتیجتاً اثر جریان B می شود و بدین خاطر در لیفت های پائین سوپاپ چرخش قابل ملاحظه ای به وجود می آید. با افزایش لیفت سوپاپ قدرت هر دو جریان به یک نسبت افزایش یافته و در نتیجه نرخ کمتری از افزایش چرخش را نشان میدهد (به شکل ۲ توجه کنید).

در سیستم تنفس با جریان ثابت هیچگونه ملاحظه ای در مورد وجود پیستون در داخل سیلندر بعمل نیامده است با این حال برای نزدیک تر شدن به شرایط واقعی سیلندر موتور تصمیم گرفته شد که یک دیسک مشبك در فالصله دو برابر قطر سیلندر در داخل لوله پلاستیکی نصب گردد تا بجای پیستون در داخل سیلندر عمل کند. اندازه گیری چرخش هوا در دو گذرگاه فوق الذکر یک افزایش قابل ملاحظه ای را نشان داد. همچنین به

سوپاپ سوپاپ.

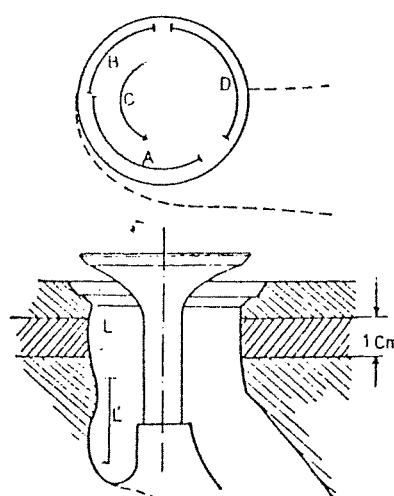
ساخت مدل‌های سر سیلندر

مدل سر سیلندرهای آزمایشگاهی را میتوان از رزین‌های فایبر‌گلاس ساخت. زیرا پروسه ساخت آنها ساده و ارزان است و می‌توان اشکال دلخواه را در آنها تعیین نمود. برای اینکار ابتدا مقداری لاستیک وینیل *Vinamold rubber* را ذوب کرده و در گذرگاه‌های موجود می‌ریزیم. پس از سردشدن آنها را از گذرگاه بیرون کشیده و بعنوان ماهیچه برای قالب‌گیری رزین فایبر‌گلاس بکار می‌بریم هر گونه تغییرات را میتوان برروی ماهیچه لاستیکی که بسیار نرم و قابل تراش است انجام داد. جزئیات این روش در مأخذ ۴ آمده است.

چون به هنگام ترکیب رزین و کاتالیست آن حرارت ایجاد میشود لذا پروسه قالب‌گیری باید بصورت لایه‌لایه و با صرف وقت زیادی انجام گیرد در غیر اینصورت حرارت ایجاد شده باعث ایجاد ترکهای بزرگ و تغییر شکل مدل میشود.

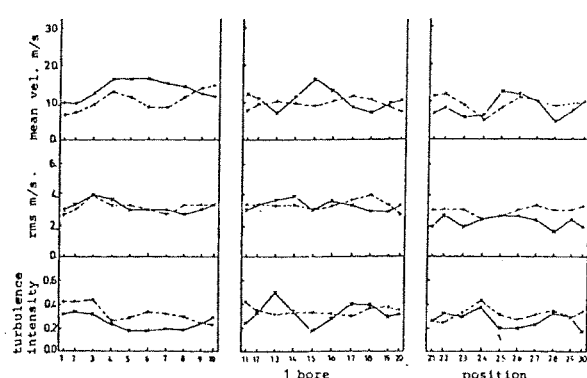
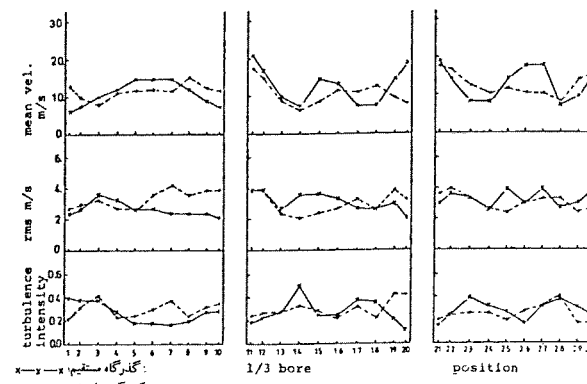
اندازه‌گیری چرخش هوا برای مدل‌های ساخته شده
با استفاده از روش جریان دائم برای لیفت‌های مختلف سوپاپ مقادیر چرخش هوا را اندازه‌گیری می‌کنیم. نتایج حاصله حاکی از آن است که گذرگاه *B* بیشترین چرخش و گذرگاه *A* کمترین چرخش را بوجود می‌آورند. طولانی کردن محفظه قبل از سوپاپ که در گذرگاه *C* انجام شد تغییرات قابل ملاحظه‌ای را در چرخش هوا نشان نمیدهد.

مطالعه شکل جریان بانعهای پنهانی در داخل سیلندر مربوط به سه گذرگاه جدید نشان داد که گذرگاه *A* دارای وضعیتی بین گذرگاه مستقیم و گذرگاه حلزونی است. برای گذرگاه *C* همانگونه که در شکل ۹ نشان داده شده است هوای ورودی در



شکل ۹- گذرگاه *C* با مسیر طولانی شده قبل از سوپاپ

سوپاپ فلزی ساخته شد و با نخهای ظرفی پنهانی جهت جریان درون هر دو گذرگاه یادداشت گردید برای گذرگاه حلزونی مشخص گردید که در بعضی از نقاط گذرگاه جریان بطرف سیلندر کاملاً عمودی است و برای گذرگاه مستقیم مشخص گردید که در لیفت‌های پائین ساقه سوپاپ و گاید آن جهت قسمت زیادی از جریان را مکوس می‌کنند و شاید این خود باعث ایجاد زوج گرداب در لیفت‌های پائین باشد.



شکل ۸- تغییرات سرعت متوسط و شدت توربولانس برای دو گذرگاه مستقیم و حلزونی

تغییر فرم گذرگاه

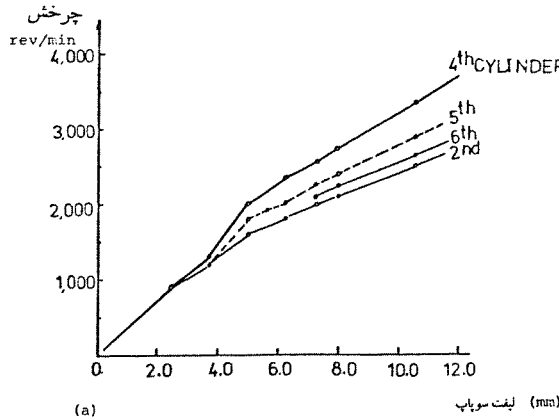
با توجه به اطلاعات حاصله از مقایسه دو نوع اصلی گذرگاه تصمیم گرفته شد سه مدل دیگر با فرم‌های جدید ساخته شود تا مطالعه مشخصات گذرگاه حلزونی در آنها تکمیل تر گردد این سه نوع گذرگاه عبارتند از:

نوع *A*- گذرگاه حلزونی معمولی ولی بدون زاویه حلزونی (به عبارت دیگر حذف پیچ‌های حلزون)

نوع *B*- یک گذرگاه حلزونی با ورودی جانبی در سر سیلندر (به عبارت دیگر ترکیبی از گذرگاه حلزونی و گذرگاه مستقیم)

نوع *C*- یک گذرگاه حلزونی با قسمت طولانی شده قبل از

البته باید انتظار داشت که در موتورهای با سیلندرهای متعدد (مثلاً "شش سیلندر") مانیفولد هوا اثر متفاوتی بر هر کدام از گذرهای خواهد داشت زیرا طول مسیر و خم‌های مانیفولد برای هر کدام از سیلندرها متفاوت است. جهت ارزیابی میزان این تأثیر تغییرات چرخش برای یک سر سیلندر موتور شش سیلندری با گذرهای حزاونی معمولی اندازه گیری شد نتایج حاصل (شکل ۱۱) اختلاف حدود ۲۵ درصد را نشان میدهد. این اندازه گیری



شکل ۱۱- مقایسه چرخش هوا برای سیلندرهای مختلف یک سر سیلندر

چرخش برای هر سیلندر در وضعیت انجام شد که مسیر بقیه سیلندرها بسته بودند. در موتور چند سیلندری هم‌زمان بودن مرحله تنفس دو سیلندر یا بیشتر مسلماً در میان این اختلافات مؤثر خواهد بود.

گذرهای اصلاح شده جدید و نتیجه گیری

با بررسی اطلاعات بدست آمده از آزمایشات فوق یک گذرهای جدید با مشخصات مشروطه زیر ساخته شد.

مدل نگاتیو گذرهای از حدود پنجاه لایه چوبی ساخته شد ابتدا یک قالب از جنس تراسل، از این مدل چوبی ساخته شد و سپس یک ماهیچه لاستیکی vinamold از قالب مزبور بدست آمد. که در قالب گیری رزین فایبر گلاس بکار برده شد.

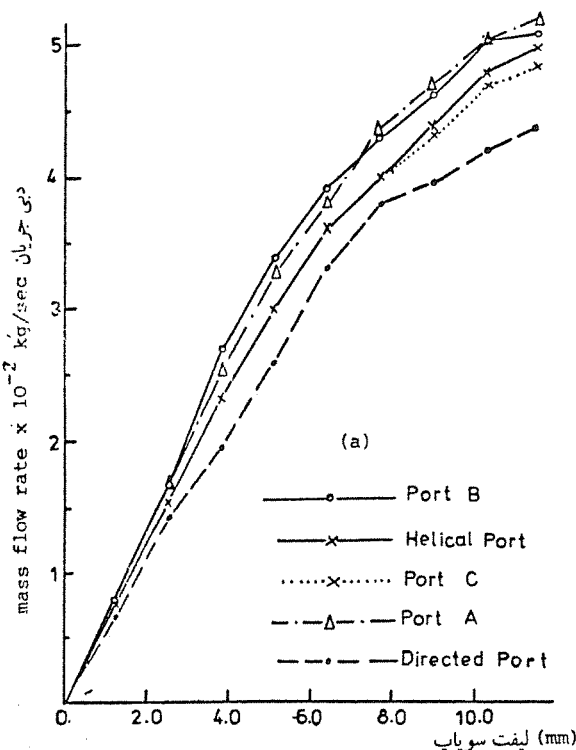
نمای جانبی و دو مقطع مختلف از گذرهای در شکل ۱۲ نشان داده شده است. نتایج اندازه گیری چرخش حاصله هوا در سر سیلندر جدید در شکل ۱۳ نشان داده شده است. مقایسه ارقام بدست آمده از گذرهایها نشان میدهد که مقدار چرخش هوا نه تنها بهبودی را نشان نمیدهد بلکه برخلاف گذرهای حزاونی اولیه افزایش چرخش یکنواخت و متناسب با افزایش لیفت سوپاپ نمی‌باشد. مثلاً در لیفت سوپاپ برابر $2/5 \text{ mm}$ یک چرخش ناپایدار با دستنچ مشاهده می‌شود. با مطالعه شکل جریان حاصله نتایج زیر بدست می‌آید:

سطح L در ناحیه A بصورت قائم بوده و در ناحیه B با زاویه تمایل زیاد به طرف مرکز سیلندر حرکت می‌کند، لذا یک وضعیت شیوه گذرهای حزاونی قبلی بوجود آمده است و این طولانی شدن مسیر هیچ اثری روی چرخش هوا ندارد.
برای گذرهای B در لیفت‌های پائین سوپاپ شکل جریان داخل سیلندر شیوه گذرهای حزاونی بوده و در لیفت‌های بالا شیوه گذرهای مستقیم عمل می‌کنند.

ظرفیت هوایپذیری گذرهایها

طراحی فرم گذرهای سر سیلندر موتور نه تنها در چرخش هوا نقش مهمی دارد بلکه بر روی راندمان حجمی موتور نیز اثر می‌گذارد. لذا مقایسه قابلیت چرخش دهنده گذرهایها باید همراه با مقایسه ظرفیت هوایپذیری آنها باشد.

ممکن است گذرهایی بتوانند با پیچ و خمهای متعدد چرخش زیادی را ایجاد نمایند ولی مقاومت مسیر در مقابل جریان دیگر هوا را کاهش داده که به نوبه خود بر میزان سوخت مصرف شده و قدرت خروجی اثر منفی می‌گذارد شکل ۱۰ ظرفیت هوایپذیری چند نوع گذرهای را نشان میدهد. در این شکل گذرهای B در مقایسه با دیگر گذرهایها ظرفیت هوایپذیری خوبی را عرضه می‌کند.



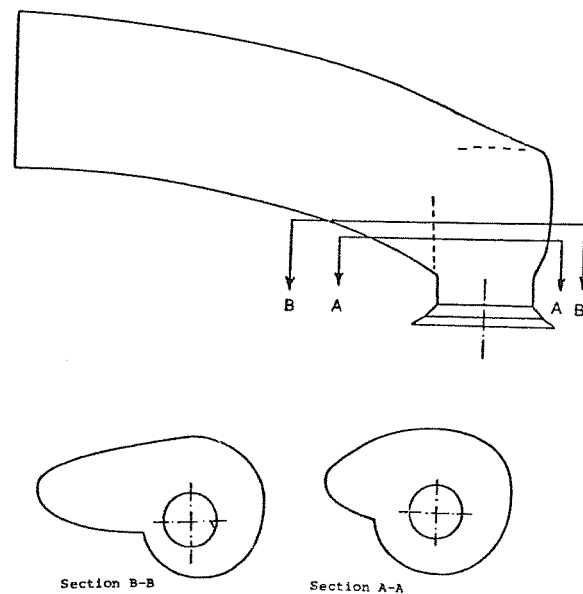
شکل ۱۰- مقایسه ظرفیت هوایپذیری گذرهایها مختلف

الف) در همه حالات جریان اصلی ورودی با یک جریان مخالف روپرورد میشود که در نتیجه آن گردابهای مخالف شیوه حالتی که در گذرگاه مستقیم برای لیفت‌های پائین تشکیل میشود بوجود می‌آید.

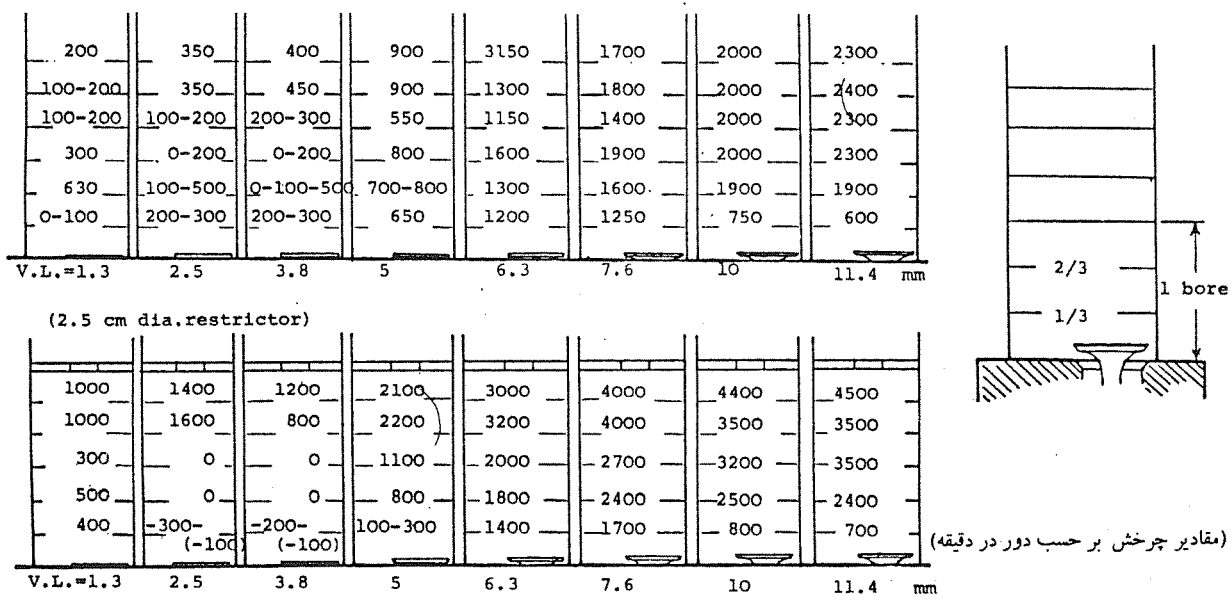
(ب) در فاصله یک قطر سیلندر از سر سیلندر دو گرداب مخالف بر تیغه‌های بادسنجه اثر کرده و چرخشی بوجود نمی‌آید.

(ج) در لیفت‌های بالای سوپاپ یک جریان معکوس عمودی وجود دارد که مقدار آن روی قطر 120° بیشتر است. بررسی جریان در داخل گذرگاه قبل از سوپاپ توسط نخ‌های طریف نشان داد که ساقه سوپاپ جریان هوا را به دو قسمت تقسیم میکند و این خود باعث تضعیف قدرت ایجاد چرخش هوا توسط گذرگاه میشود. برای اصلاح این وضع قسمتی از سطح مقطع گذرگاه توسط خمیر مخصوص پلاستیسین (Plasticine) پوشانده شد (شکل ۱۴) و فرم جدید گذرگاه (که نامیده D_1 میشود) بهبودی در سطح چرخش بوجود آورد. شکل ۱۵ ارقام جدید را نشان میدهد. گرچه در لیفت‌های پائین سوپاپ مثلاً "در میزان $V.L. = 2\text{mm}$ ثابت ماندن دبی در لیفت‌های بالای سوپاپ نشان میدهد که دهنده ضعف این فرم از گذرگاه است. افزایشی که در میزان چرخش بوجود آمد در مقابل کاهش ظرفیت هوایبری حاصل شد. شکل ۱۶ این کاهش را نشان میدهد.

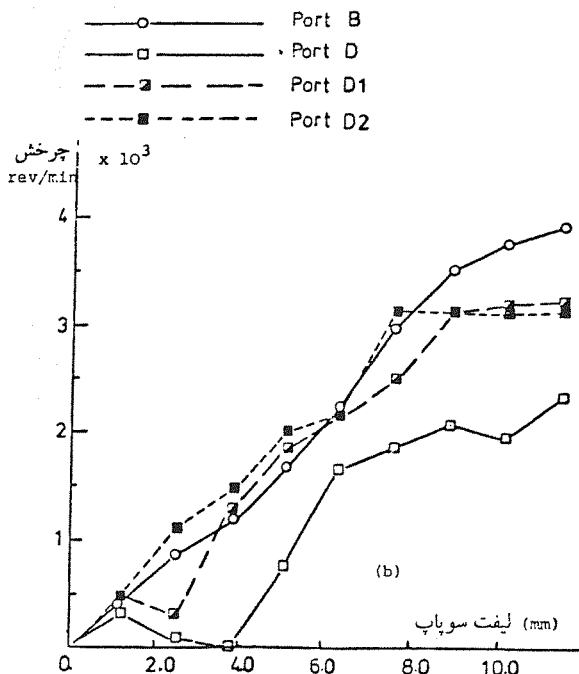
ثابت ماندن دبی در لیفت‌های بالای سوپاپ نشان میدهد که گشودگی سوپاپ عامل کنترل دبی نخواهد بود بلکه کاهش سطح مقطع جریان خود بصورت عامل کننده درآمده



شکل ۱۲ - نمای جانبی و دو مقطع گذرگاه D



شکل ۱۳ - میزان چرخش بادسنجه برای گذرگاه D



شکل ۱۶- مقایسه میزان چرخش بادسنج برای گذرگاههای مختلف

علت محدودیت سطح مقطع کوچک و گلوگاه شدن مسیر میزان چرخش ثابت می‌ماند. در $V.L. = 2/5 \text{ mm}$ برخلاف D_1 و D_2 گذارگاهی در میزان چرخش مشاهده نشد البته ظرفیت هوایزیری از بقیه گذارگاهها کمتر شده است لذا تصمیم گرفته شد جهت جبران کاهش حاصله در سطح مقطع جریان از جداره مقابل قسمت خمیرها مقداری از دیواره تراشیده شود در نتیجه خط مرکزی گذارگاه مختصه تغییر مکان میدهد. بمنظور سهولت در عملیات اصلاح گذارگاه مدل سر سلندر به دو نیمه بریده شد. تراش قسمتهای جداره در دو مرحله انجام شد (شکل ۱۸). گذارگاه حاصله با نصب خمیر و بدون خمیر و تحت آزمایش قرار گرفت. بنابراین چهار گذارگاه جدید بدین ترتیب بدست آمد:

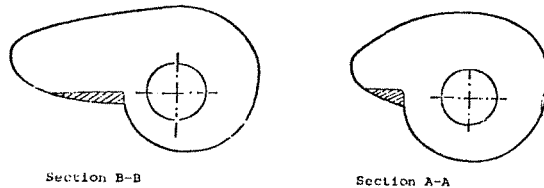
$$(مرحله اول تراش جداره) + (گذارگاه) = گذارگاه (F_1)$$

$$(نصب خمیر پلاستیسین) + (گذارگاه) = گذارگاه (F_2)$$

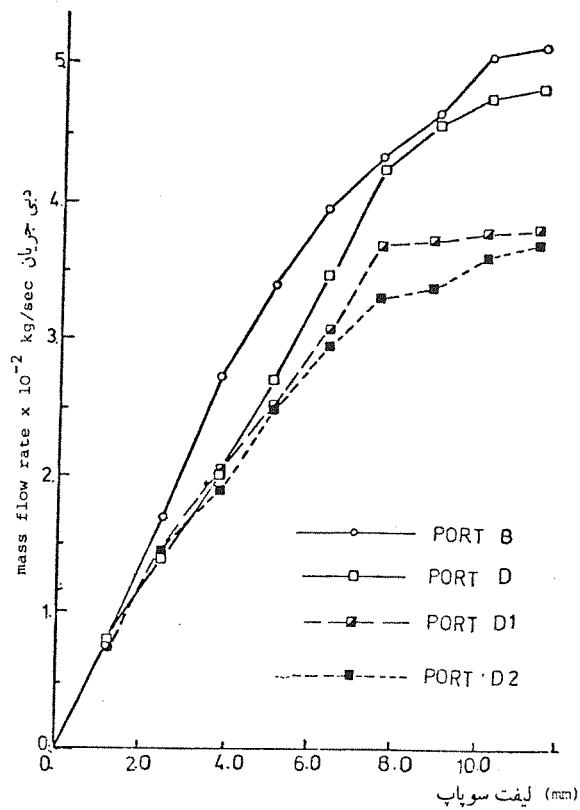
$$(مرحله دوم تراش جداره) + (گذارگاه) = گذارگاه (G_1)$$

$$(نصب خمیر پلاستیسین) + (گذارگاه) = گذارگاه (G_2)$$

میزان چرخش و ظرفیت هوایزیری برای گذارگاههای فوق الذکر اندازه گیری شده و نتایج در شکل ۱۹ نشان داده شده است. چرخش هوا برای گذارگاه F_1 و F_2 بسیار بالا بدست آمد (حتی بیش از گذارگاه B). البته در لیفتهای بالای سوپاپ ظرفیت هوایزیری آنها از گذارگاه B حدود ۲۰ درصد کمتر بدست آمد. بنابراین میزان چرخش بهینه را میتوان با تغییرات باز هم بیشتر



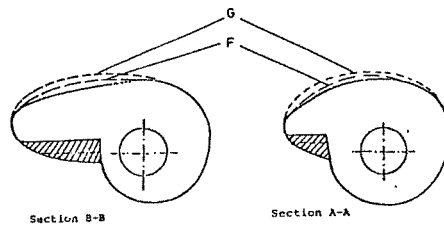
شکل ۱۴- محل نصب خمیر در سطح مقطع گذارگاه D_1



شکل ۱۵- مقایسه ظرفیت هوا پذیری گذارگاهها

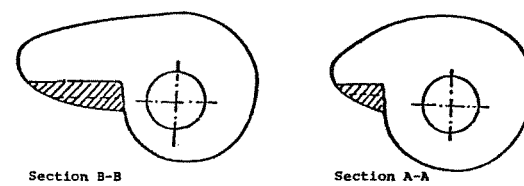
است. ثابت ماندن میزان چرخش هم در این منطقه به همین علت است.

برای توقف کامل جریان ثانویه در پشت سوپاپ خمیر بیشتری در جداره گذارگاه اضافه شد. شکل ۱۷ گذارگاه D_2 نشان میدهد. اندازه گیری میزان چرخش تولید شده توسط این گذارگاه نشان داد که در لیفتهای بالای سوپاپ ظرفیت حتی بیش از گذارگاه B حاصل می‌شود. البته در لیفتهای بالا به



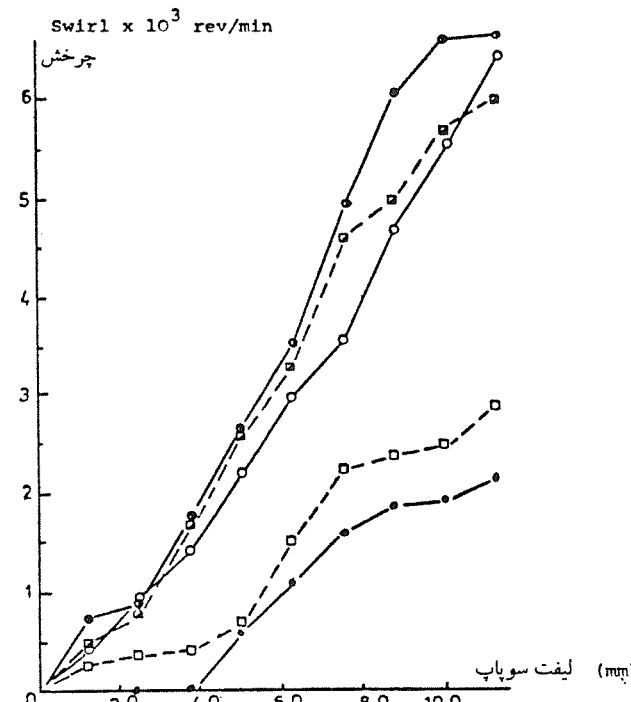
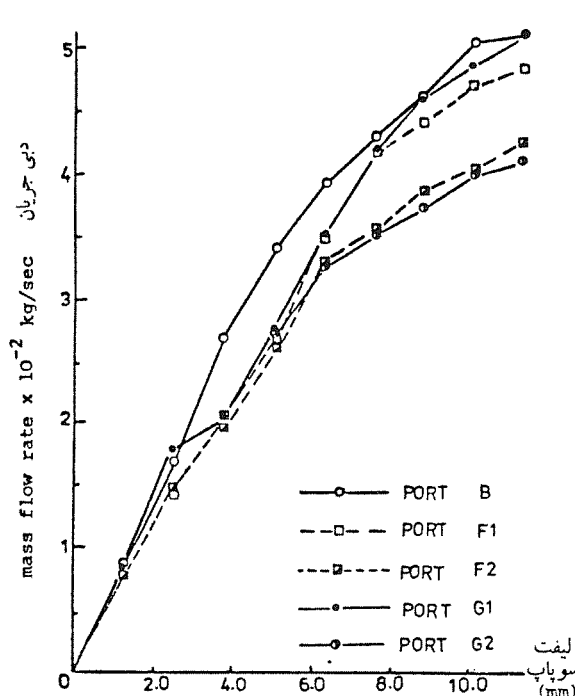
شکل ۱۸- مقاطع گذرگاه F و G و محل تراش جداره

نهایت با توجه به نوع سوخت پاش و پارامترهای مربوطه بهترین گذرگاه با مناسبترین راندمان و کمترین آلوگی تعیین می شود. بررسی این پارامترها در مقاله بعدی ارائه خواهد شد.



شکل ۱۷- مقاطع گذرگاه D_2 و محل نصب خمیر

بدهست آورده، اثر این اصلاحات البته باید در نهایت روی موتور واقعی آزمایش گردد و همانگونه که گفته شد پارامترهای دیگری نظیر شکل مانیفلد، تعداد سیلندر و فرم محفظه احتراق در انتخاب بهترین چرخش دخالت دارند. بدیهی است در



شکل ۱۹- مقایسه میزان چرخش بادسنج و ظرفیت هوایزیری گذرگاههای مختلف

منابع:

- 1- Heywood, J.B. "Internal Combustion Engine Fundamentals" Mc Graw Hill, 1988.
- 2- Ohigashi, S. "Swirl - its measurements and effect on combustion in a diesel engine." I. Mech. E Conf. on Air Pollution Control 1971.
- 3- Annand, W.J.D. & Rose, G.E. " Gas Flow in IC Engines "G.T. Foulis & co. 1974.
- 4- Sohrabi, A.A. "Inlet Port design and Air Motion in Diesel Engines", Ph. D. Thesis Univ . of London 1980.
- 5- Witze, P.O. "A Critical Comparison of Hot-Wire anemometry and Laser Doppler Velocimetry for I.C. Engine Applications." SAE Paper 800132, vol. 98, 1980.
- 6- Liou, T.M., and Santavicca, D.A. "Cycle Resolved LDV Measurements in a Motored IC Engine." ASME Trans. J. Fluid Eng. Vol .107, 1985.